

## ЛИТЕРАТУРА

1. Kulik P. P., Melnikov V. M., Riabii V. A., Titov M. A. The electrical conductivity of dense, highly non-ideal cesium plasma. — In: Proc. XI Intern. Conf. on Phenom. in Ionized Gases. Prague, 1973.
2. Куликов П. С. Термодинамическая диссоциация соединений. М.: Metallurgy, 1969.
3. Белов С. П., Демидов М. И. и др. Обратимая непрозрачность оптического кварца, возникающая при контакте с плотной плазмой. — ЖПС, 1969, т. 10, № 3.
4. Кузнецова Н. И., Лапко Г. Б. Оптические свойства плазмы щелочных металлов лития, натрия и калия. — ТВТ, 1979, т. 17, № 1.
5. Физика и техника низкотемпературной плазмы/Под ред. С. В. Дресвиной. М.: Атомиздат, 1972.
6. Заруди М. Е. Методы расчета характеристик дуги в канале. — ТВТ, 1968, т. 6, № 1.
7. Сон Э. Е., Павлов Г. А. К исследованию электропроводности слабонеидеальной плазмы на ударной трубе. — ТВТ, 1971, т. 9, № 5.

УДК 532.592 + 532.62

### НЕЙТРАЛЬНЫЕ ВОЛНЫ НА ПОВЕРХНОСТИ ПЛЕНКИ ЖИДКОСТИ, ВТЕКАЮЩЕЙ ПО ВЕРТИКАЛЬНОЙ СТЕНКЕ В ДРУГУЮ ЖИДКОСТЬ

С. М. Беседин, О. Ю. Цвелодуб

(Новосибирск)

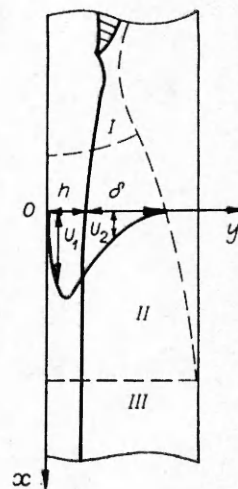
Пленка жидкости, стекающая по вертикальной или наклонной поверхности в окружении другой жидкости, встречается в некоторых видах экстракционного оборудования и при электрошлаковой плавке металлов. Поэтому рассматриваемое течение интересно с практической точки зрения. С другой стороны, пленка жидкости, граничащая с другой жидкостью, интересна с теоретической точки зрения как пример течения, при котором на поверхностные волны в тонком слое жидкости оказывает влияние течение во внешней среде.

При втекании пленки жидкости вдоль наклонной или вертикальной стенки в другую жидкость можно выделить три области течения (фиг. 1). В области входного участка *I* течение определяется в основном условиями на входе и представляет собой пристенную струю. В области начального участка *II* условия на входе уже не влияют на течение, а пограничный слой, развивающийся во внешней жидкости, еще не достиг стенки канала. В области *III* течение является установившимся, не зависящим от  $x$ .

Линейная устойчивость рассматриваемого течения в области *III* исследовалась в ряде работ [1—4], где показано, что в области *III*, как и в случае свободной пленки жидкости [5], неустойчивость течения связана с развитием волн на поверхности раздела. Критическое число Рейнольдса  $Re_*$  равно нулю при течении в вертикальном канале и отлично от нуля в наклонном. Устойчивость течения в области начального участка *II* в этих работах не исследовалась. Однако, как показано в [6, 7], пограничный слой между двумя потоками влияет на устойчивость течения.

Данная работа посвящена исследованию линейной устойчивости течения в области начального участка *II*. Рассматривается случай, когда жидкости несмешивающиеся, течение изотермическое, а внешняя жидкость неподвижна на бесконечности.

Как часто делается при анализе устойчивости течений пограничного типа [6—8], будем считать, что невозмущенное течение не зависит от продольной координаты  $x$ , а пограничный слой во внешней жидкости имеет конечную толщину  $\delta_p$ . Экспериментальные исследования [9] показывают, что в области *II*, когда величина  $\delta_p$  превышает толщину пленки жидкости  $h_p$ , величина  $h_p$  слабо зависит от  $x$ . Поэтому в случае  $\delta_p > h_p$  невозмущенный профиль скорости в пленке жидкости можно аппроксимировать нуссельтовским [10], а в пограничном слое — профилем Польгаузена [8], соответствующим безградиентному обтеканию пластины. В безразмерном виде, где за масштабы длины и скорости выбраны средняя толщина пленки жидкости  $h_0$  и среднерасходная скорость течения в ней  $U_0$ , невозмущенный профиль скорости, удовлетворяющий



Ф и г. 1

условиям непрерывности скорости и касательных напряжений на поверхности раздела, имеет вид

$$(1) \quad \begin{aligned} U_1(y) &= 3 \left[ \left(1 + \frac{\tau}{6 + \tau}\right) y - \left(1 + \frac{3\tau}{6 + \tau}\right) \frac{y^2}{2} \right], \quad 0 \leq y \leq 1, \\ U_2(y) &= \frac{9}{6 + \tau} \left(1 + \frac{y-1}{\delta}\right) \left(\frac{1 + \delta - y}{\delta}\right)^3, \quad 1 \leq y \leq 1 + \delta, \\ U_3(y) &= 0, \quad 1 + \delta \leq y < \infty, \quad \tau = 3\mu/\delta. \end{aligned}$$

В этом случае для средней толщины пленки жидкости имеем

$$(2) \quad h_0 = \sqrt[3]{\frac{3 \operatorname{Re} v_1^2}{g(1-\rho)} \left(1 + \frac{3\tau}{6 + \tau}\right)}.$$

Здесь  $\rho = \rho_2/\rho_1$ ,  $\mu = \mu_2/\mu_1$  — относительные плотность и динамическая вязкость соответственно (при обозначении физических свойств индекс 1 относится к жидкости, образующей пленку, 2 — к внешней жидкости);  $\operatorname{Re} = h_0 U_0 / \nu_1$  — расходное число Рейнольдса.

При исследовании устойчивости рассматриваемого течения относительно бесконечно малых возмущений все возмущенные величины будем искать в виде

$$(3) \quad A(x, y, t) = A_0(y) \exp [i\alpha(x - c_*t)],$$

где  $\alpha$ ,  $c_* = c + i\eta$  — волновое число и комплексная фазовая скорость соответственно.

Пренебрегая нелинейными членами в уравнениях движения жидкости и используя (3), получаем для амплитуд функций тока  $\varphi_i(y)$  возмущающего течения уравнения Орра—Зоммерфельда:

$$(4) \quad \varphi_1^{\text{IV}} - [i\alpha \operatorname{Re} (U_1 - c_*) + 2\alpha^2] \varphi_1'' + [i\alpha \operatorname{Re} (\alpha^2 (U_1 - c_*) + U_1'') + \alpha^4] \varphi_1 = 0, \quad 0 \leq y \leq 1;$$

$$(5) \quad \varphi_2^{\text{IV}} - \left[ i\alpha \frac{\operatorname{Re}}{\nu} (U_2 - c_*) + 2\alpha^2 \right] \varphi_2'' + \left[ i\alpha \frac{\operatorname{Re}}{\nu} (\alpha^2 (U_2 - c_*) + U_2'') + \alpha^4 \right] \varphi_2 = 0, \quad 1 \leq y \leq 1 + \delta;$$

$$(6) \quad \varphi_3^{\text{IV}} - \left[ -i\alpha \frac{\operatorname{Re}}{\nu} c_* + 2\alpha^2 \right] \varphi_3'' + \left[ -i\alpha \frac{\operatorname{Re}}{\nu} \alpha^2 c_* + \alpha^4 \right] \varphi_3 = 0, \quad 1 + \delta \leq y < \infty.$$

Граничные условия прилипания на стенке, непрерывности скорости и напряжений на поверхности пленки жидкости и внешней границы пограничного слоя, а также затухания возмущений на бесконечности можно, используя кинематическое условие на поверхности раздела, записать в виде

$$(7) \quad y = 0: \varphi_1 = 0, \quad \varphi_1' = 0;$$

$$(8) \quad \begin{aligned} y = 1: U_1' \varphi_1 + (c_* - U_1) \varphi_1' &= U_2' \varphi_2 + (c_* - U_2) \varphi_2', \quad \varphi_1 = \varphi_2, \\ U_1'' \varphi_1 + (c_* - U_1) (\varphi_1'' + \alpha^2 \varphi_1) &= \mu [U_2'' \varphi_2 + (c_* - U_2) (\varphi_2'' + \alpha^2 \varphi_2)], \\ (c_* - U_1) [(c_* - U_1) \varphi_1' + U_1' \varphi_1] - \frac{i}{\alpha \operatorname{Re}} [(\varphi_1''' - 3\alpha^2 \varphi_1') (c_* - U_1) - \\ &- 2\alpha^2 \varphi_1 U_1'] - \alpha^2 \varphi_1 \operatorname{We} = \rho (c_* - U_2) [(c_* - U_2) \varphi_2' + U_2' \varphi_2] - \\ &- \frac{i\mu}{\alpha \operatorname{Re}} [(\varphi_2'' - 3\alpha^2 \varphi_2') (c_* - U_2) - 2\alpha^2 \varphi_2 U_2']; \end{aligned}$$

$$(9) \quad y = 1 + \delta: \varphi_2 = \varphi_3, \quad \varphi_2' = \varphi_3', \quad \varphi_2'' = \varphi_3'', \quad \varphi_2''' = \varphi_3''';$$

$$(10) \quad y \rightarrow \infty: \varphi_3, \quad \varphi_3' \rightarrow 0,$$

где  $v = v_2/v_1$  — относительная кинематическая вязкость;  $We = \sigma/h_0 U_0 \rho_1$  — число Вебера. Согласно (2), имеем

$$(11) \quad We = \sqrt[3]{\frac{3Fi}{Re^5} \left(1 + \frac{3\tau}{6 + \tau}\right)},$$

где  $Fi = \sigma^3 / (\rho_1^3 v_1^4 g (1 - \rho))$ .

Таким образом, линейный анализ устойчивости рассматриваемого течения сводится к задаче на собственные значения уравнений Орра — Зоммерфельда (4)–(6) с граничными условиями (7)–(10).

В данной работе эта задача решалась численно с помощью детерминантного метода [11]. Применительно к исследуемому течению этот метод заключается в следующем.

Пусть  $\varphi_{ij}$  ( $i = 1, \dots, 3, j = 1, 2$ ) — линейно-независимые решения уравнений (4)–(6), причем  $\varphi_{11}, \varphi_{12}$  и  $\varphi_{31}, \varphi_{32}$  удовлетворяют условиям (7), (10) соответственно, а  $\varphi_{21}, \varphi_{22}$  являются продолжением функции  $\varphi_{31}, \varphi_{32}$  из области  $y \geq 1 + \delta$  в область  $1 \leq y \leq 1 + \delta$  с помощью условий (9). Тогда решение задачи имеет вид

$$(12) \quad \begin{aligned} \varphi_1 &= A_{11}\varphi_{11} + A_{12}\varphi_{12}, & 0 \leq y \leq 1, \\ \varphi_2 &= A_{21}\varphi_{21} + A_{22}\varphi_{22}, & 1 \leq y \leq 1 + \delta, \\ \varphi_3 &= A_{31}\varphi_{31} + A_{32}\varphi_{32}, & 1 + \delta \leq y \leq \infty. \end{aligned}$$

Подставив (12) в (8), получим однородную систему линейных алгебраических уравнений на коэффициенты  $A_{11}, A_{12}, A_{21}, A_{22}$ , для которой условие существования ненулевого решения можно записать в виде

$$(13) \quad F(\alpha, c_*, Re, We, \delta, \rho, \mu, D_{ij}) = 0,$$

где

$$(14) \quad \begin{aligned} E_{i1} &= \begin{vmatrix} \varphi_{i1} & \varphi_{i2} \\ \varphi'_{i1} & \varphi'_{i2} \end{vmatrix}, & D_{i2} &= \begin{vmatrix} \varphi'_{i1} & \varphi'_{i2} \\ \varphi''_{i1} & \varphi''_{i2} \end{vmatrix}, & D_{i3} &= \begin{vmatrix} \varphi''_{i1} & \varphi''_{i2} \\ \varphi'''_{i1} & \varphi'''_{i2} \end{vmatrix}, \\ D_{i4} &= \begin{vmatrix} \varphi'_{i1} & \varphi'_{i2} \\ \varphi''_{i1} & \varphi''_{i2} \end{vmatrix}, & D_{i5} &= \begin{vmatrix} \varphi_{i1} & \varphi_{i2} \\ \varphi''_{i1} & \varphi''_{i2} \end{vmatrix}, & D_{i6} &= \begin{vmatrix} \varphi_{i1} & \varphi_{i2} \\ \varphi'''_{i1} & \varphi'''_{i2} \end{vmatrix}. \end{aligned}$$

Выражение для функции  $F$  в (13) не приводится вследствие его громоздкости. Можно показать, что функции  $D_{ij}$  удовлетворяют уравнениям:

$$(15) \quad \begin{aligned} D'_{i1} &= D_{i6}, & D'_{i2} &= D_{i4}, & D'_{i3} &= B_i D_{i6}, & D'_{i4} &= D_{i3} + A_i D_{i2} + B_i D_{i1}, \\ & & D'_{i5} &= D_{i4} + A_i D_{i6}, & D'_{i6} &= D_{i2} + D_{i5}, \end{aligned}$$

где  $A_1 = i\alpha Re(U_1 - c_*) + 2\alpha^2$ ;  $B_1 = i\alpha Re[(U_1 - c_*)\alpha^2 + U_1''] + \alpha^4$ ;

$$A_2 = i\alpha \frac{Re}{v} (\bar{U}_2 - c_*) + 2\alpha^2; \quad B_2 = i\alpha \frac{\bar{Re}}{v} [(U_2 - c_*)\alpha^2 + U_2''] + \alpha^4.$$

Граничные условия для функций  $D_{ij}$  в силу однородности краевой задачи (4–10) имеют вид

$$(16) \quad y = 0: D_{11} = D_{12} = D_{14} = D_{15} = D_{16} = 0, D_{13} = 1;$$

$$(17) \quad y = 1 + \delta: D_{2j} = D_{3j}, j = 1, \dots, 6.$$

Функции  $D_{3j}$  в (16) можно выписать явно, поскольку из уравнения (6) имеем

$$(18) \quad \varphi_{31} = e^{-\alpha y}, \varphi_{32} = e^{-\lambda y}, \lambda = \sqrt{\alpha^2 - i\alpha Re c/v}.$$

Окончательно, используя (14), (17), (18), для  $D_{2j}$  имеем

$$(19) \quad \begin{aligned} y = 1 + \delta: D_{21} &= (\alpha - \lambda) \exp[-(\alpha + \lambda)(1 + \delta)], \\ D_{22} &= \alpha\lambda(\alpha - \lambda) \exp[-(\alpha + \lambda)(1 + \delta)], D_{23} = \alpha^2\lambda^2(\alpha - \lambda) \times \\ &\times \exp[-(\alpha + \lambda)(1 + \delta)], D_{24} = \alpha\lambda(\lambda^2 - \alpha^2) \exp[-(\alpha + \lambda) \times \end{aligned}$$

$$\times(1 + \delta)], D_{25} = (\alpha^3 - \lambda^3) \exp[-(\alpha + \lambda)(1 + \delta)], D_{26} = \\ = (\lambda^2 - \alpha^2) \exp[-(\alpha + \lambda)(1 + \delta)].$$

С целью подавления быстрорастущих решений уравнений (15) вводят новые функции  $z_{ij} = D_{ij}/D_{i3}$ , и уравнения (15) с граничными условиями (16), (19) с учетом того, что у системы (15) есть интеграл  $D_{i4}D_{i4} = D_{i1}D_{i3} + D_{i2}D_{i5}$ , сводятся к системе уравнений:

$$(20) \quad \begin{aligned} z'_{i2} &= z_{i4} - B_i z_{i6} z_{i2}, & i &= 1, 0 \leq y \leq 1, \\ z'_{i4} &= A_i z_{i2} - B_i z_{i2} z_{i5} + 1, & i &= 2, 1 \leq y \leq 1 + \delta, \\ z'_{i5} &= z_{i4} + A_i z_{i6} - B_i z_{i6} z_{i5}, & z'_{i6} &= z_{i2} + z_{i5} - B_i z_{i6} \end{aligned}$$

с граничными условиями

$$(21) \quad \begin{aligned} y = 0: z_{12} = z_{14} = z_{15} = z_{16} = 0, & y = 1 + \delta: z_{22} = \\ = 1/(\alpha\lambda), z_{24} = -(\alpha + \lambda)/(\alpha\lambda), z_{25} = (\alpha^3 - \lambda^3)/(\alpha^2\lambda^2(\alpha - \lambda)), & \\ z_{26} = -(\alpha + \lambda)/(\alpha^2 + \lambda^2). \end{aligned}$$

Уравнение (13) запишется в виде

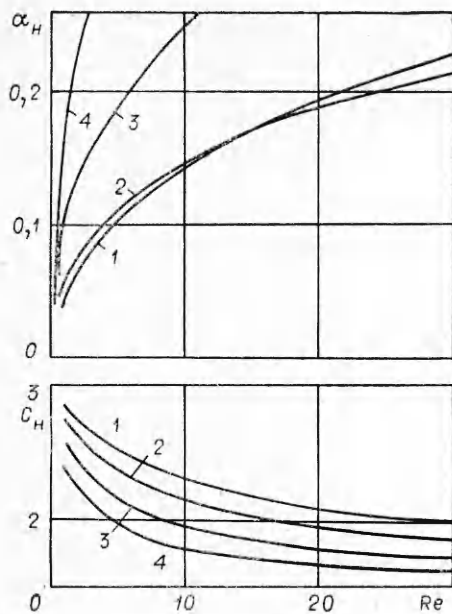
$$(22) \quad y = 1: F_1(\alpha, c, \text{Re}, \text{We}, \delta, \rho, \mu, z_{ij}) = 0.$$

Таким образом, задача на собственные значения (4)–(10) сводится к решению алгебраического уравнения (22), в котором функции  $z_{ij}$  являются решениями задачи Коши для уравнений (20) с граничными условиями (21).

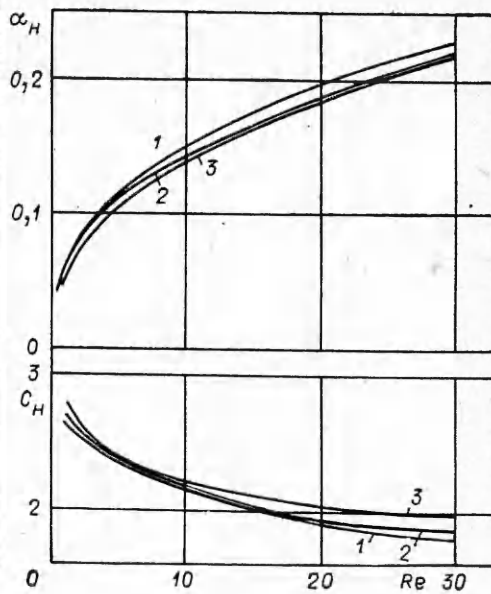
В данной работе рассчитывались волновые числа  $\alpha_n = f(\text{Re})$  и фазовые скорости  $c_n = \varphi(\text{Re})$ , соответствующие нейтральным возмущениям ( $\eta = 0$ ). Как в случае свободной пленки жидкости [5], так и при совместном течении двух жидкостей в канале (в области установившегося течения III) [1] неустойчивость течения при малых  $\text{Re}$  обусловлена наличием поверхности раздела. Фазовая скорость волн на этой поверхности равна примерно 1,5–3 и уменьшается при увеличении  $\text{Re}$  и уменьшении величины  $\text{Fi}$ . В области начального участка II экспериментально наблюдаемые незатухающие волны на поверхности раздела имеют также скорость  $c \approx 2$ , которая уменьшается при увеличении  $\text{Re}$  [9]. Естественно предположить, что и в области II неустойчивость рассматриваемого течения связана с поверхностными волнами. Поэтому в данной работе исследовалась мода колебаний, соответствующая этим волнам. Область неустойчивости ( $\eta > 0$ ) для этой моды колебаний в плоскости  $\alpha - \text{Re}$  ограничена кривой, выходящей из начала координат, и осью  $\alpha = 0$ , на которой, как следует из решения системы (4)–(10), при  $\alpha = 0$  скорость волн равна  $c = 3(1 + \tau/(6 + \tau))$ . Вторая граница области неустойчивости определялась численно. Вычисления проводились при  $\text{Re} = 1-30$ ,  $\text{Fi} = 5 \cdot 10^6 - 5 \cdot 10^{10}$ ,  $\mu = 0,125-8$ ,  $\rho = 0,4-0,9999$ ,  $\delta \geq 4$ . Результаты счета приведены на фиг. 2–4. На основании этих результатов можно отметить следующее.

Увеличение значения  $\rho$  от 0,4 до 0,9999 при постоянном  $\text{Fi}$  приводит к некоторому уменьшению скорости нейтральных волн и не оказывает существенного влияния на нейтральные кривые  $\alpha_n = f(\text{Re})$  (фиг. 2,  $\mu = 1$ ,  $\delta = 8$ , кривая 1 соответствует  $\rho = 0,4$ ,  $\text{Fi} = 5 \cdot 10^{10}$ , 2 —  $\rho = 0,9999$ ,  $\text{Fi} = 5 \cdot 10^{10}$ , 3 —  $\rho = 0,9999$ ,  $\text{Fi} = 5 \cdot 10^8$ , 4 —  $\rho = 0,9999$ ,  $\text{Fi} = 5 \cdot 10^6$ ). Увеличение  $\text{Fi}$  приводит к увеличению скорости нейтральных волн и сужению области неустойчивости (поскольку  $\text{Fi} \sim \sigma^3 / (\rho_1^3 \nu_1^4 (1 - \rho))$ , этот параметр может измениться на несколько порядков при изменении  $\sigma$ ,  $\rho_1$ ,  $\nu_1$  в несколько раз и изменении  $\rho$  в окрестности единицы).

Увеличение толщины пограничного слоя (фиг. 3,  $\text{Fi} = 5 \cdot 10^{10}$ ,  $\rho = 0,9999$ ,  $\mu = 1$ ,  $\delta = 4; 8; \infty$  — кривые 1–3) приводит к сужению области неустойчивости при малых  $\text{Re}$ . При  $\text{Re} \geq 30$  по мере увеличения  $\delta$  область неустойчивости оказывается наименьшей при некотором конечном, зависящем от  $\text{Fi}$ ,  $\rho$ ,  $\mu$ ,  $\text{Re}$  значении  $\delta$ . Скорость нейтральных волн



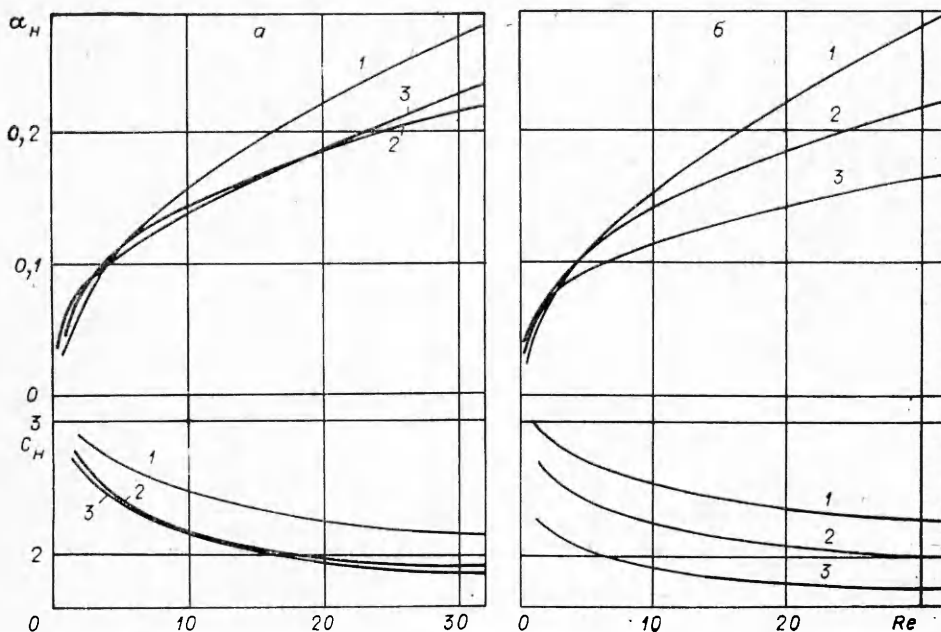
Ф и г. 2



Ф и г. 3

при увеличении значения  $\delta$  уменьшается в области малых  $Re$  и увеличивается в области больших  $Re$ .

Увеличение  $\mu$  при конечных значениях  $\delta$  (фиг. 4, а,  $\delta = 8$ ,  $Fi = 5 \cdot 10^{10}$ ,  $\rho = 0,9999$ ,  $\mu = 0,125$ ; 1; 8 — кривые 1—3) приводит к расширению области неустойчивости при малых  $Re$ . При больших значениях  $Re$  область неустойчивости оказывается наименьшей при некотором конечном, зависящем от  $Fi$ ,  $\delta$ ,  $\rho$ ,  $Re$  значении  $\mu$ . Скорость нейтральных волн увеличивается при увеличении  $\mu$  для малых  $Re$  и является наименьшей при некотором конечном, зависящем от  $Fi$ ,  $\delta$ ,  $\rho$ ,  $Re$  значении  $\mu$  для больших  $Re$ . Относительная динамическая вязкость  $\mu$  влияет на устойчивость течения, с одной стороны, как параметр в уравнениях возмущенного те-



Ф и г. 4

чения, а с другой — через невозмущенный профиль скорости  $u$ , как показано в [3], через величину разрыва производной  $dU/dy$  при  $y = 1$ . Когда  $\delta \rightarrow \infty$ , течение во внешней среде становится однородным, невозмущенный профиль скорости не зависит от  $\mu$ , а  $dU/dy = 0$  при  $\delta \rightarrow \infty$ . Следовательно, в этом случае  $\mu$  влияет на устойчивость течения только как параметр в уравнениях для возмущенного течения. При увеличении  $\mu$  (фиг. 4, б,  $\delta = \infty$ ) область неустойчивости расширяется в области малых  $Re$  и сужается в области больших  $Re$ , а скорость волн уменьшается.

Таким образом, при втекании пленки жидкости по вертикальной стенке в другую, неподвижную на бесконечности жидкость незатухающие волны на поверхности раздела существуют при любых  $Re$ . В области  $Re \leq 30$  характеристики этих волн при данном  $Re$  определяются в основном параметром  $Fi$  и, в меньшей степени,  $\mu$  и  $\delta$ .

Авторы выражают благодарность В. Е. Накорякову за постановку задачи и внимание к работе.

Поступила 17 XI 1982

#### ЛИТЕРАТУРА

1. Graebel W. P. The stability of a stratified flow. — J. Fluid Mech., 1960, vol. 8, N 3.
2. Осипов В. З. Устойчивость движения двух несмешивающихся вязких жидкостей между параллельными стенками. — Тр. ВЦ АН СССР, 1970, т. 9, № 3.
3. Chia-Shun Yih. Instability due to viscosity stratification. — J. Fluid Mech., 1967, vol. 27, pt 2.
4. Hickox C. E. Instability due to viscosity and density stratification in axisymmetric flows. — Phys. Fluids, 1971, vol. 14, N 2.
5. Chia-Shun Yih. Stability of liquid flow down on inclined plane. — Phys. Fluids, 1963, vol. 6, N 3.
6. Бэтчов Р., Криминале В. Вопросы гидродинамической устойчивости. М.: Мир, 1971.
7. Бородин В. А., Ягодкин В. И. Устойчивость движения плоской границы раздела двух жидкостей. — ПМТФ, 1967, № 1.
8. Шлихтинг Г. Теория пограничного слоя. М.: Наука, 1974.
9. Беседин С. М., Цвелодуб О. Ю. Устойчивость течения пленки жидкости — другая жидкость. — В кн.: Неравновесные процессы в одно- и двухфазных системах. Новосибирск: ИТФ СО АН СССР, 1981.
10. Кутателадзе С. С., Стырикович М. А. Гидродинамика газожидкостных систем. М.: Энергия, 1976.
11. Желтухин Н. А. Детерминантный метод решения задач гидродинамической теории устойчивости. — В кн.: Аэрогазодинамика. Новосибирск: Наука, 1973.

УДК 531.391 + 532.526 + 532.592

### УСЛОВИЯ УСТОЙЧИВОСТИ СТАЦИОНАРНОГО ВРАЩЕНИЯ ЦИЛИНДРА, ЗАПОЛНЕННОГО СЛОИСТО-НЕОДНОРОДНОЙ ВЯЗКОЙ НЕСЖИМАЕМОЙ ЖИДКОСТЬЮ

Н. В. Дерендяев, В. А. Сеняткин

(Горький)

Вопрос об устойчивости стационарного вращения тела с полостью, частично заполненной однородной вязкой несжимаемой жидкостью, возникает при анализе моделей различных турбомашин (см., например, [1—3]). В [4] экспериментально исследовалось движение волчка с полостью, содержащей слоисто-неоднородную вязкую жидкость.

В данной работе способом [3] решена плоская задача об устойчивости в малом стационарного вращения кругового цилиндра, целиком заполненного двумя несмешивающимися вязкими несжимаемыми жидкостями, в случае осесимметричного вязкоупругого закрепления оси цилиндра при условии постоянства угловой скорости его вращения.

**1. Постановка задачи.** Пусть круговой цилиндр с внутренним радиусом  $a$ , целиком заполненный двумя несмешивающимися вязкими несжимаемыми жидкостями с плотностями  $\rho_1, \rho_2$  и вязкостями  $\mu_1, \mu_2$ , совершает стационарное вращение с угловой скоростью  $\Omega$  вокруг оси  $O_1z$ . В режиме стационарного вращения ось цилиндра, находящаяся в вязкоупругом закреплении, совпадает с  $O_1z$ , заполняющие жидкости вращаются